

پراکندگی پالیگورسکیت و مهم‌ترین کانی‌های رسی همراه در رسوب‌های دوران سنوزوئیک استان بوشهر

زینب نادری زاده^{۱*}، حسین خادمی^۲، شمس‌الله ایوبی^۲، مختار زلفی باوریانی^۱

۱- بخش تحقیقات خاک و آب، مرکز تحقیقات و آموزش کشاورزی و منابع طبیعی استان بوشهر، سازمان تحقیقات، آموزش و ترویج کشاورزی، بوشهر، ایران

۲- گروه علوم خاک، دانشکده کشاورزی، دانشگاه صنعتی اصفهان

(دریافت مقاله: ۱۴۰۱/۸/۲۵، سخن‌نهایی: ۱۴۰۱/۱۲/۸)

چکیده: هدف از این پژوهش، تعیین پراکندگی پالیگورسکیت و سیلیکات‌های رسی همراه در بخشی از رسوب‌های دوران سنوزوئیک استان بوشهر بوده است. به این منظور، تعداد ۱۳ نمونه از این سنگ‌ها جمع‌آوری و بخش رس آن‌ها با طیفسنج پراش پرتو ایکس و میکروسکوپ الکترونی روبشی بررسی گردید. نتایج نشان داد که برخی از رسوب‌ها، دارای کانی پالیگورسکیت هستند، اما شواهدی از حضور این کانی در شیل و مارن آهکی دوره کرتاسه پسین تا ائوسن یافت نشد. در بین سنگ‌های مورد بررسی، سازند آغازاری (میوسن-پلیوسن) بیشترین مقدار پالیگورسکیت را دارد. کلریت، ایلیت، اسمکتیت و کائولینیت به همراه کوارتز به عنوان سایر کانی‌های موجود در سنگ‌های رسوبی منطقه شناسایی شدند. تصاویر میکروسکوپ الکترونی روبشی به خوبی حضور پالیگورسکیت را در برخی از سنگ‌های رسوبی منطقه نشان می‌دهد. به نظر می‌رسد که در دوران سنوزوئیک، شرایطی چون دریاچه‌های کم‌عمق بین‌کوهی و کولاپ‌ها در منطقه حضور داشته‌اند.

واژه‌های کلیدی: پالیگورسکیت؛ سنوزوئیک؛ سیلیکات‌های رسی؛ استان بوشهر.

چون رسوب‌های دریاچه‌ای و دریایی، خاک‌های نواحی خشک و در مناطق نزدیک فعالیت‌های گرمابی حضور دارند [۴]. سنگ‌های رسوبی سنوزوئیک در ایران نسبت‌های متفاوتی از کانی پالیگورسکیت را دارند [۵-۷]. فعالیت‌های کوه‌زایی که منجر به بسته‌شدن اقیانوس نئوتیس در اواخر کرتاسه شده باعث گسترش دریاچه‌های سور کم‌عمق در دوران سنوزوئیک شده‌اند که از نظر شرایط شیمیایی برای تشکیل کانی پالیگورسکیت مطلوب هستند [۵]. در یک محیط تبخیری، این شرایط منجر به تشکیل گچ و در نتیجه افزایش نسبت منیزیم به کلسیم می‌شود [۵]. این امر باعث تشکیل مقدار زیادی پالیگورسکیت بر جازا در نقاط مختلف دنیا بویژه در رسوب‌های نیوزن شده است [۸].

مقدمه
کانی‌های رسی توالی‌های رسوبی (در مناطق غیر فعال از نظر زمین‌ساختی)، اغلب اقلیم، پستی و بلندی و سنگ‌شناسی مناطق منبع و آثار محیطی گذشته چون نوسان‌های سطح دریا و فعالیت‌های زمین‌ساختی را نشان می‌دهند [۱]. بنابراین، کانی‌شناسی رس‌ها به عنوان یک ابزار قدرتمند برای تفسیر شرایط هوازدگی و اقلیم گذشته مطرح است [۲]. انواع و فراوانی کانی‌های موجود در سنگ‌ها و رسوب‌ها می‌تواند اطلاعات خوبی در مورد ویژگی‌های سنگ و حوضه رسوب‌گذاری ارائه دهد [۳]. پالیگورسکیت، $(\text{Mg}, \text{Al})_2\text{Si}_4\text{O}_{10}$ (OH). $4(\text{H}_2\text{O})$. سپیولیت، $\text{Mg}_8\text{Si}_{12}\text{O}_{30}$ (OH)₄.8H₂O از جمله کانی‌های رسی ۲:۱ با ریختار یا ایافی هستند که در محیط‌هایی

*نویسنده مسئول، تلفن: ۰۹۱۷۱۷۴۳۷۲۴، نامبر: ۷۷۳۳۲۶۹۱۳، پست الکترونیکی: naderizadeh_zainab86@yahoo.com

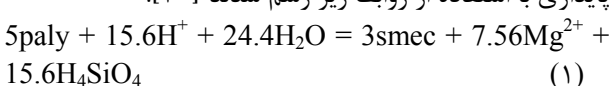
این دوران بررسی نشده است. بنابراین در این پژوهش، پراکنش کانی پالیگورسکیت و کانی‌های رسی همراه در رسوب‌های بخشی از دوران سنوزوئیک استان بوشهر بررسی شد.

روش بررسی معرفی منطقه

وجود عوامل بسیار مهم ساختاری چون گنبدهای نمکی، گسل کازرون، بلندی‌های قدیمی، تداخل و اثر حرکت‌های زمین-شناسی ناشی از صفحه عربی و تقاوتهای کلی سکوی فارس و فروافتادگی درزفول سبب پیچیدگی چینه‌شناسی استان بوشهر شده است [۱۷]. با بررسی نقشه‌های زمین‌شناسی استان، مهم‌ترین سازندها شامل آگاجاری، بختیاری، آسماری-جهرم، گچساران، میشان، بنگستان، پابده- گورپی، گوری و ایلام - سروک بوده که اغلب مربوط به اوایل و اواسط دوران سنوزوئیک هستند. رسوب‌های کواترنری نیز بخش‌هایی از استان بوشهر بویژه در نواحی ساحلی را می‌پوشانند.

نمونه‌برداری و تجزیه‌های آزمایشگاهی

برای بررسی حضور کانی پالیگورسکیت و سایر کانی‌های رسی در سنگ‌های رسوبی بخشی از دوران سنوزوئیک استان بوشهر، بر اساس بازدیدهای صحراوی و نقشه‌های زمین‌شناسی استان، از ۱۳ واحد سنگی مهم منطقه به شرح شکل ۱، نمونه‌برداری شد. در شکل ۲، موقعیت نقاط نمونه‌برداری در استان بوشهر نشان داده شده است. نمونه‌های سنگی پس از جمع‌آوری به آزمایشگاه کمک‌پژوهشی گروه علوم خاک دانشکده کشاورزی دانشگاه صنعتی اصفهان ارسال شدند، آنها با آسیاب خرد شده و از الک ۲ میلی‌متری عبور داده شدند. مقادیر کربنات کلسیم معادل و گج به ترتیب به روش‌های تیتر کردن برگشتی با اسید‌کلریدریک ۲ نرمال [۱۸] و گرمادهی [۱۹] تعیین شدند. مقدار کلسیم و منیزیم در عصاره اشباع با دستگاه جذب اتمی مدل Perkin Elmer 3030 اندازه‌گیری گردید. مقدار سیلیسیم محلول در عصاره اشباع نیز با روش رنگ‌سنگی [۱۸] میزان pH و هدایت الکتریکی به ترتیب با pH‌سنج و EC متر تعیین شدند. برای نمونه‌های سنگی مورد بررسی، نمودار پایداری با استفاده از روابط زیر رسم شدند [۲۰]:



$$\text{Log}_{(\text{Ksmec-paly})} = \text{log}(\text{Mg}^{2+}) + 2\text{pH} + 2\text{log}(\text{H}_4\text{SiO}_4) = 5.75 \quad (2)$$

وجود پالیگورسکیت در ایران [۵، ۶، ۹]، مشهد [۷] و مکان‌های دیگر از کشور نشان‌دهنده شرایط مشابه در اوایل و اواسط دوران سنوزوئیک در این مناطق است و می‌توان گفت که رسوب‌های این دوران خاستگاه اصلی رسهای الیافی در دنیا هستند. نخستین بار در سال ۱۹۵۸، حضور پالیگورسکیت را در رسوب‌ها و خاک‌هایی از ایران گزارش کردند [۱۰]. نتایج آن پژوهش نشان داد که بخش نامحلول سنگ آهک ائوسن از غرب کرمانشاه و دولومیت آسماری در غرب خرم‌آباد غنی از پالیگورسکیت هستند [۱۰]. در پژوهشی دیگر، وجود پالیگورسکیت در سنگ‌های آهکی کرمانشاه گزارش شده، اما اثری از این کانی در خاک‌های آبرفتی منطقه نبوده است [۱۱]. مقادیر زیاد پالیگورسکیت در رسوب‌های نئوزن دشت لوت در ایران مرکزی گزارش شده است. در آن پژوهش، پوشش بلورهای پالیگورسکیت روی بلورهای گج دیده شد. پژوهشگران پیشنهاد داده‌اند پالیگورسکیت پس از تشکیل ذرات گج شکل گرفته است [۱۲]. در پژوهشی دیگر گسترش پالیگورسکیت در برخی رسوب‌های سنوزوئیک ایران مرکزی بررسی شد. نتایج نشان داد که پالیگورسکیت در رسوب‌های پالئوسن، ائوسن و الیگوسن استان اصفهان حضور ندارد. این پژوهشگران بیان کرده‌اند که گرچه از اواخر پالئوسن تا اوایل ائوسن بخش‌های مختلف اقیانوس نووتیس الگوهای مختلفی از توزیع کانی پالیگورسکیت را نشان می‌دهند، به نظر می‌رسد که در ایران مرکزی شرایط تشکیل کانی پالیگورسکیت تا اواخر الیگوسن فراهم نبوده است. در مقابل، مقادیر زیادی از این کانی در نمونه‌های وابسته به سنین میوسن و پلیوسن دیده شد. بر اساس بررسی‌های میکروسکوپ الکترونی و تجزیه زمین‌شیمیایی رسوب‌ها، این پژوهشگران تشکیل درجای پالیگورسکیت را در آنها پیشنهاد دادند [۱۳].

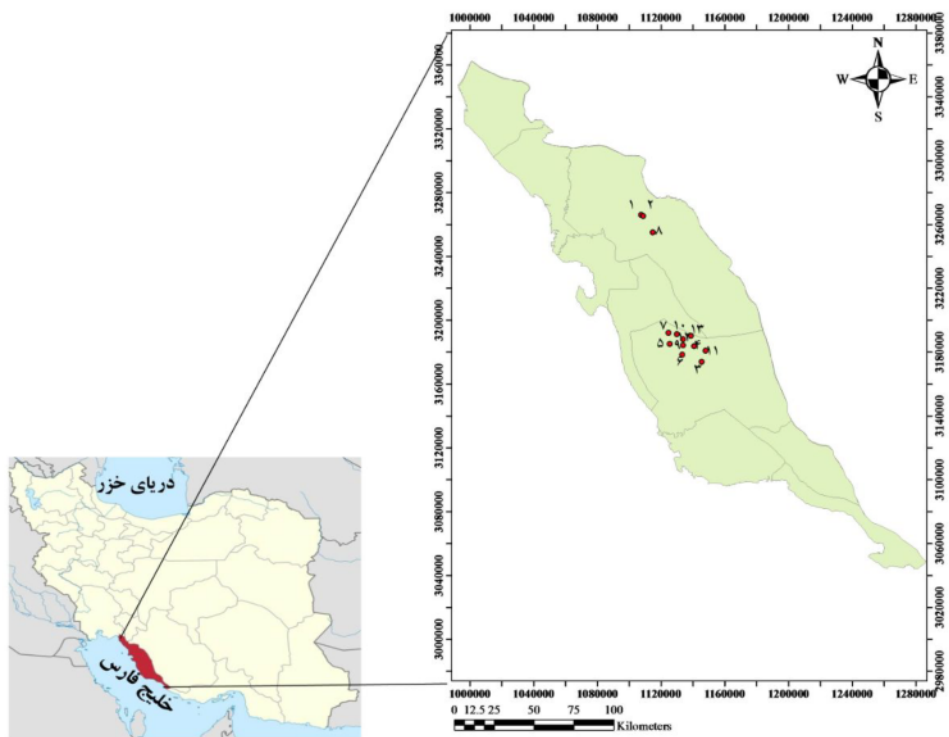
تاکنون پژوهش‌های بسیاری پیرامون پراکندگی کانی‌های رسی بویژه کانی‌های الیافی در خاک‌ها و رسوب‌های کشور انجام شده که در بیشتر آنها، حضور کانی رشته‌ای پالیگورسکیت در رسوب‌ها و سنگ‌های دوران سنوزوئیک بررسی گردیده و عملده آنها مربوط به ایران مرکزی بوده است. افزون بر این، بررسی‌هایی نیز در جنوب [۹، ۱۴]، غرب [۱۵] و شمال‌شرق ایران [۷] انجام شده است. با وجود گسترش بسیار رسوب‌های با سن سنوزوئیک در استان بوشهر، پراکنش کانی پالیگورسکیت و کانی‌های رسی همراه در رسوب‌های مهم

شمال غرب کشور (تبریز) بررسی گردید. ریخت‌شناسی برخی از نمونه‌ها با میکروسکوپ الکترونی روشی (SEM) بررسی شد. برای این منظور، نمونه‌های کوچک و دست نخورده از سنگ‌ها بر پایه‌های آلومینیومی قرار داده شد و پس از ایجاد پوشش طلا روی آن‌ها تصاویر SEM آنها ثبت شد. ترکیب عنصری برخی از نمونه‌ها نیز با (EDX) طیف‌سنج پراکندگی انرژی پرتوی ایکس تعیین گردید. ترکیب عنصری نمونه‌ها و ریختار آن‌ها به ترتیب با دستگاه‌های SEM/EDX مدل Philips XI30 و Seron AIS 2300 در دانشکده مواد دانشگاه صنعتی اصفهان بررسی شد.

که play و smec به ترتیب پالیگورسکیت و اسمکتیت هستند. برای کانی‌شناسی بخش رس، نخست کربنات‌ها و نمک‌های محلول نمونه‌ها با استفاده از استات سدیم حذف گردیدند. سپس با چند بار شستشو با آب مقطر، گچ نمونه‌ها نیز خارج شد. حذف ماده آلی و اکسیدهای آهن به ترتیب با آب اکسیژنه ۳۰ درصد و سیترات بیکربنات دی‌تیونات صورت گرفت [۲۱]. سپس برای کانی‌شناسی، اجزای مختلف هر نمونه تفکیک و مقدار ۵۰ میلی‌گرم از بخش رس آنها پس از تیمارهای اشبع با منیزیم، اشبع با منیزیم و اتیلن گلیکول، اشبع با پتاسیم و تیمار گرمایی نمونه اشبع با پتاسیم با پراش‌سنج پرتو ایکس (XRD) در آزمایشگاه سازمان زمین‌شناسی و اکتشافات معدنی (XRD) در آزمایشگاه سازمان زمین‌شناسی و اکتشافات معدنی

سنوزوئیک	پلیوسن پسین	سازند بختیاری	کنگلومرای مارنی شنی (۱ و ۲)
		سازند آغاجاری	ماسه سنگ (۳)، مارن قرمز (۴)
	میوسن	سازند میشان	مارن قرمز (۵) مارن خاکستری-زرد (۶)
		گوری	مارن (۷)
		سازند گچساران	مارن (۸)
	الیگوسن	سازند آسماری	سنگ آهک (۹)
		سنگ آهک دولومیتی (۱۰)	
	اونسن- پالئوسن	سازند جهرم	سنگ آهک (۱۱)
		سازند پابده	مارن آهکی (۱۲)
	مزوزوئیک	کرتاسه پسین	شیل آهکی (۱۳)

شکل ۱ ستون چینه‌شناسی در منطقه مورد بررسی (سنگ‌های رسوبی مورد بررسی به رنگ خاکستری و از ۱ تا ۱۳ شماره‌گذاری شده است).



شکل ۲ جایگاه استان بوشهر در نقشه ایران و موقعیت نقاط نمونه برداری.

کائولینیت، ایلیت و کوارتز وجود دارد (شکل ۳). مارن آهکی پابده نیز که مربوط به پالقوسن-اٹوسن است، کانی هایی شبیه شیل آهکی پابده دارد (شکل ۳). به نظر می رسد که در اواخر دوره کرتاسه و اوایل دوران سنوزوئیک یعنی زمان تشکیل این دو سازند، شرایط تشکیل کانی پالیگورسکیت در سنگ های رسوبی منطقه مورد بررسی وجود نداشته است.

سنگ آهک سازند جهرم (پالقوسن-اٹوسن) شبیه سنگ های رسوبی پیشین، دربردارنده کانی های ایلیت و کوارتز است و همچنین دارای کانی های اسمکتیت، کلریت و پالیگورسکیت به مقدار بسیار کم است (شکل ۴). در سنگ آهک آسماری و سنگ آهک دولومیتی آسماری-جهرم که جوان تر از سنگ های رسوبی پیشین هستند، نیز کانی های ایلیت، کلریت (بسیار ناچیز)، اسمکتیت، کوارتز و پالیگورسکیت وجود دارند. شدت قله ۶/۵ آنگستروم پالیگورسکیت در این دو سنگ بیشتر از سنگ آهک جهرم است (شکل ۴). با توجه به این موارد می توان نتیجه گرفت که در بخشی از پالقوسن، شرایط تشکیل کانی پالیگورسکیت فراهم بوده است، به طوری که نخستین شواهد حضور این کانی در سنگ آهک جهرم به مقدار بسیار ناچیز دیده می شود. در سنگ آهک های با سنین مختلف، کانی کائولینیت دیده نشد.

بحث و بررسی

مشخصه های فیزیکی و شیمیایی سنگ های رسوبی

در جدول ۱، برخی ویژگی های سنگ های رسوبی ارائه شده است. دیده می شود که pH همه نمونه ها بالای ۸ است. مقدار آهک نیز از ۹۹ تا ۶۷ درصد متغیر بوده که نشان دهنده وجود شرایط قلیایی در زمان تشکیل این رسوب هاست. مقدار گچ نیز از ۰/۳۸ تا ۳/۶۳ درصد متغیر است. البته بخشی از سازند گچساران را اندیزیت تشکیل می دهد و از آن به عنوان معادن گچ استفاده می شود و بر خاک های منطقه مورد بررسی نیز اثر دارند.

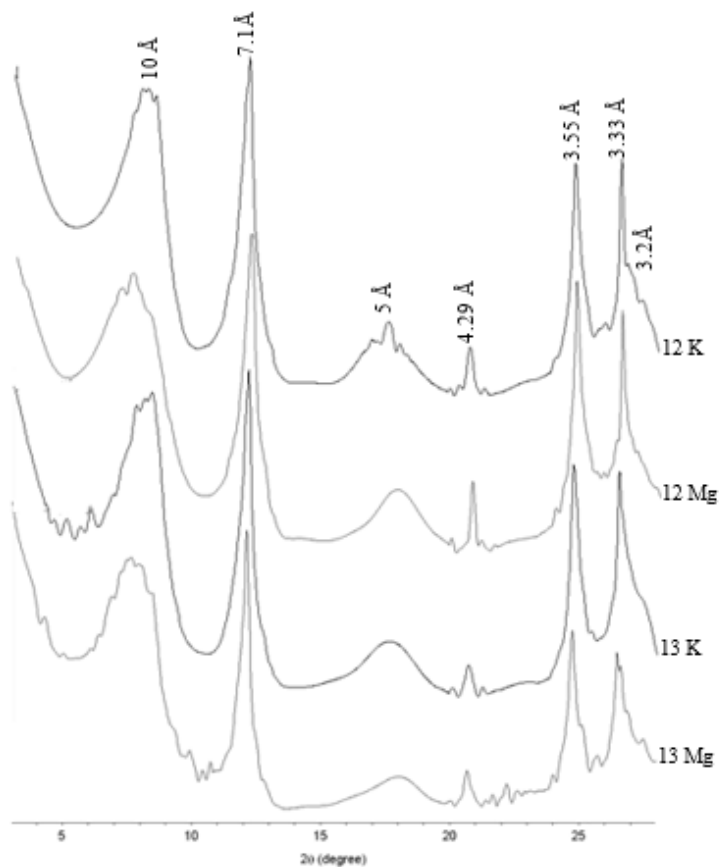
کانی شناسی رسی سنگ های رسوبی

نتایج کانی شناسی بخش رسی نمونه های سنگ رسوبی (دوران سنوزوئیک) برداشت شده از منطقه مورد بررسی، در شکل های ۳ تا ۷ دیده می شود. پراش نگاشته های پرتو ایکس نشان دهنده حضور کانی های پالیگورسکیت، کلریت، اسمکتیت، ایلیت و کائولینیت به همراه کوارتز، با مقادیر متفاوت، در سنگ های با سنین مختلف است.

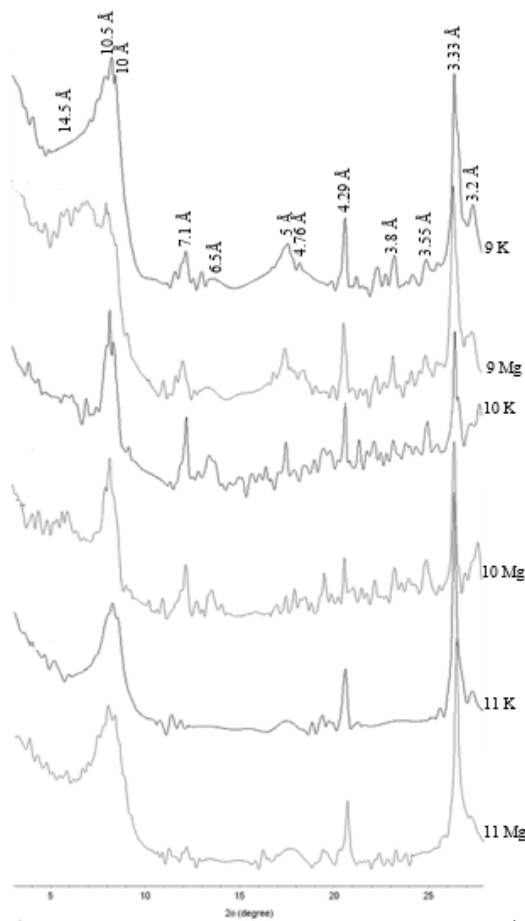
در شیل آهکی سازند پایده-گوربی که قدیمی ترین واحد سنگ در بین نمونه های مورد بررسی و مربوط به گستره زمانی کرتاسه پسین-اٹوسن است، قله ۶/۵ آنگستروم مربوط به کانی پالیگورسکیت دیده نمی شود، اما قله های مربوط به کانی های

جدول ۱ مشخصه‌های فیزیکی و شیمیایی سنگ‌های رسوبی مورد بررسی.

H_4SiO_4 (ppm)	Mg/Ca	Ca^{2+} (meq L ⁻¹)	Mg^{2+} (meq L ⁻¹)	رسانندگی الکتریکی (dS m ⁻¹)	میزان اسیدی بودن	جگ (%)	آهک (%)	شماره نمونه
۱,۲۷	۰,۰۵	۱,۰۸	۰,۵۰	۲,۱۳	۸,۳۷	۱,۰۵	۹۱,۰۰	۱
۰,۵۸	۰,۰۵	۲۱,۷۸	۱,۰۰	۲,۱۰	۸,۱۳	۱,۱۵	۹۲,۰۰	۲
۱,۳۹	۰,۹۶	۱,۹	۱,۸۳	۱,۲۸	۸,۸۴	۳,۶۳	۸۱,۵۰	۳
۰,۸۸	۰,۷۶	۳,۷۸	۲,۸۸	۲,۱۷	۸,۱۳	۱,۶۲	۷۰,۰۰	۴
۰,۶۹	۰,۲۸	۳,۸۵	۱,۰۸	۱,۷۹	۸,۵۷	۰,۶۷	۹۵,۰۰	۵
۱,۷۶	۰,۶۲	۳,۰۸	۱,۹۲	۰,۸۶	۸,۴۰	۳,۱۵	۷۵,۰۰	۶
۰,۹۴	۰,۲۰	۳,۸۳	۰,۷۵	۰,۵۵	۸,۵۰	۱,۵۳	۸۶,۵۰	۷
۱,۵۱	۰,۳۰	۸,۸۵	۲,۶۷	۱,۴۵	۸,۱۵	۲,۸۶	۶۷,۰۰	۸
۰,۴۰	۰,۲۷	۱,۲۲	۰,۳۳	۰,۳۵	۸,۸۲	۰,۵۷	۹۸,۵۰	۹
۰,۴۴	۰,۱۷	۶,۵	۱,۰۸	۰,۸۵	۸,۴۱	۰,۳۸	۹۹,۵۰	۱۰
۱,۱۶	۰,۱۴	۶,۹	۰,۹۶	۱,۰۳	۸,۲۶	۰,۸۶	۹۲,۵۰	۱۱
۱,۹۲	۰,۱۸	۲,۱۵	۰,۳۸	۰,۲۱	۸,۶۶	۰,۴۱	۹۵,۰۰	۱۲
۰,۹۶	۰,۱۰	۲,۵۵	۰,۲۵	۰,۲۹	۸,۳۴	۱,۵۳	۸۸,۵۰	۱۳



شکل ۳ پراش نگاشته‌های پرتو ایکس نمونه‌های با تیماره‌های اشباع با منیزیم (Mg) و پتاسیم (K) بخش رس شیل آهکی پابده-گورپی (شماره ۱۳) و مارن آهکی پابده (شماره ۱۲) (با کم شدن شماره، سن سنگ کاهش می‌یابد).



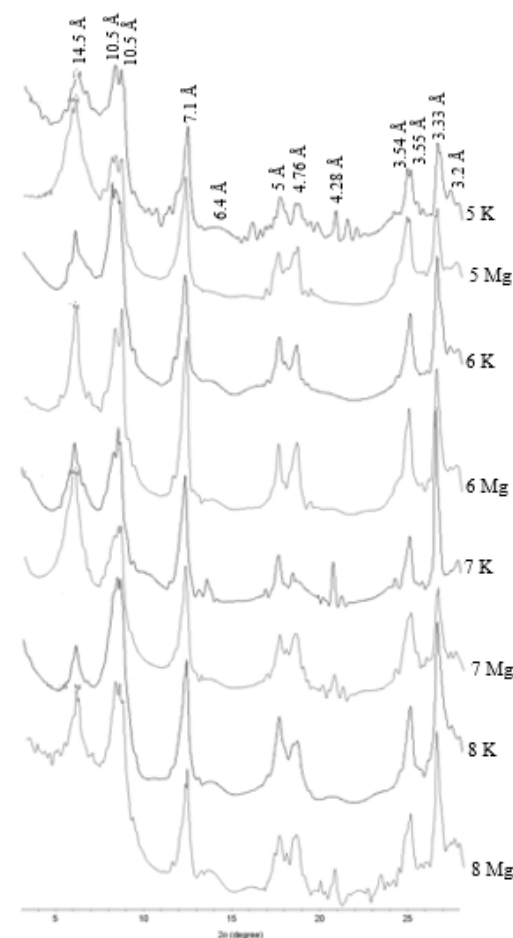
شکل ۴ پراش نگاشتهای پرتو ایکس نمونه‌های با تیماره‌های اشباع با منیزیم (Mg) و پتاسیم (K) سنگ آهک جهرم (شماره ۱۱)، سنگ آهک دولومیتی آسماری-جهرم (شماره ۱۰) و سنگ آهک آسماری (شماره ۹) (با کم شدن شماره، سن سنگ کاهش می‌یابد).

کائولینیت و کوارتز نیز در این دو سنگ رسوی وجود دارند (شکل ۶). مقدار کانی کلریت در مارن‌های مربوط به میوسن نسبت به سنگ‌های رسوی دیگر به طور قابل توجهی افزایش یافته است.

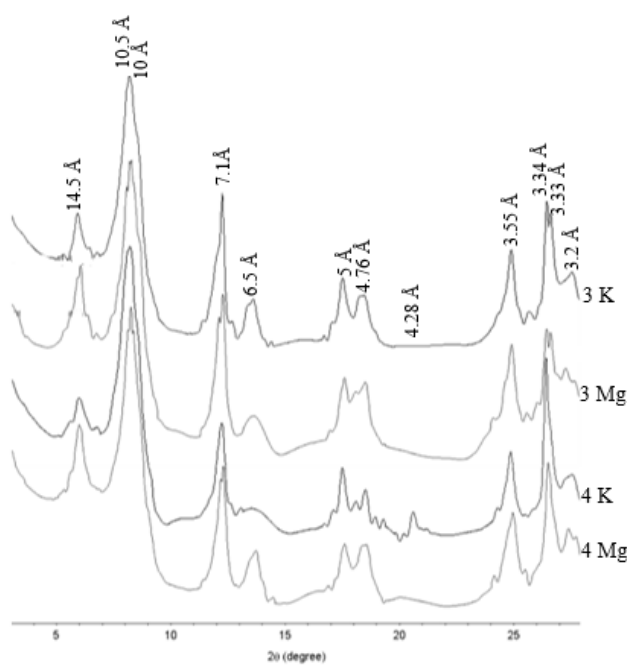
این نتایج نشان می‌دهند که با شروع دوران سنوزوئیک و با جوان‌تر شدن سنگ‌های رسوی منطقه، شواهد حضور پالیگورسکیت در منطقه وجود دارد. شدت قله مربوط به پالیگورسکیت در سنگ‌های رسوی با سن میوسن نسبت به سنگ آهک دولومیتی و سنگ آهک آسماری که مربوط به سنین قدیمی تر هستند، بیشتر است. در این پژوهش، بیشترین مقدار پالیگورسکیت در سنگ‌های رسوی سازند آگاجاری که مربوط به اوایل پلیوسن و اوایل پلیوسن هستند، دیده شد. همچنین نخستین شواهد حضور پالیگورسکیت در سنگ‌های رسوی مربوط به سازند جهرم (سنگ آهک) که گستره سنی آن از پالئوسن تا ائوسن است، وجود داشت. بنابراین شرایط تشکیل کانی پالیگورسکیت در بخشی از پالئوسن فراهم بوده است.

با جوان‌تر شدن سنگ‌های رسوی یعنی در مارن گچساران که در میوسن تشکیل شده شدت قله ۶/۵ آنگستروم مربوط به پالیگورسکیت افزایش یافته است. کانی‌های ایلیت، کلریت، کائولینیت، اسمکتیت و کوارتز نیز به عنوان کانی‌های همراه پالیگورسکیت در مارن گچساران حضور دارند (شکل ۵). در سنگ‌های رسوی مارنی با سن میوسن نیز کانی‌های ایلیت، کلریت، کائولینیت، اسمکتیت، کوارتز و پالیگورسکیت دیده شوند (شکل ۵). به نظر می‌رسد که در میوسن، شرایط تشکیل پالیگورسکیت در مارن گچساران و مارن خاکستری-زرد میشان نسبت به بقیه مارن‌ها بیشتر فراهم بوده است.

با کاهش سن سنگ‌های رسوی در منطقه، در اواخر میوسن و اوایل پلیوسن که ماسه سنگ و مارن قرمز سازند آگاجاری عمدۀ سنگ‌های رسوی این سن را تشکیل می‌دهند، شدت قله ۶/۵ آنگستروم مربوط به کانی پالیگورسکیت بسیار افزایش یافته است و در واقع در بین نمونه‌ها بیشترین شدت این قله در سنگ‌های رسوی مربوط به سازند آگاجاری دیده می‌شود. افزون براین کانی، کانی‌های ایلیت، اسمکتیت، کلریت،



شکل ۵ پراش نگاشتهای پرتو ایکس نمونه‌های با تیماره‌ای اشباع با منیزیم (Mg) و پتاسیم (K) بخش رس مارن گچساران (شماره ۸)، مارن گوری (شماره ۷)، مارن خاکستری-زرد میشان (شماره ۶) و مارن قرمز میشان (شماره ۵) (با کم‌شدید شماره، سن سنگ کاهش می‌یابد).



شکل ۶ پراش نگاشتهای پرتو ایکس نمونه‌های با تیماره‌ای اشباع با منیزیم (Mg) و پتاسیم (K) بخش رس مارن قرمز آگاجاری (شماره ۴) و ماسه سنگ آگاجاری (شماره ۳).

از کوههای زاگرس در جنوب ایران، دیده شد که با شروع دوران سنوزوئیک، تا پدید شدن تدریجی کائولینیت و همزنان افزایش اسمکتیت و پالیگورسکیت رخ داده است [۱۴]. حضور پالیگورسکیت و اسمکتیت در رسوب‌های اواخر پالئوسن به احتمال بسیار به علت افزایش خشکی بوده که تاکنون نیز ادامه یافته است. نتایج همچنین نشان داد که به احتمال بسیار منبع اصلی کائولینیت، اسمکتیت، کلریت و ایلیت در منطقه مورد بررسی، از نوع آواری بوده است، اما نوتشکیلی درجای پالیگورسکیت برای حضور این کانی پیشنهاد شد [۱۴].

حضور مقداری زیادی از پالیگورسکیت در رسوب‌های قاره‌ای ائوسن در کشور تونس گزارش شده است [۲۲]. افزون بر پالیگورسکیت، کانی‌های دیگری چون ایلیت، کائولینیت، اسمکتیت‌های منیزیم‌دار و آلومینیوم‌دار (به صورت همراه با کانی‌های کربناتی مانند کلسیت یا دولومیت)، کوارتز، گچ و فلدسپار نیز در بخش رسی دیده شد [۲۲]. بررسی‌های انجام شده نشان می‌دهند که در مناطقی که در معرض اقیانوس نئوتیس و رخدادهای پس از بسته شدن آن قرار داشته‌اند، زمان فراهم شدن شرایط زمین‌شیمی مناسب در کولاپها و مناطق کم عمق ایجاد شده پس از بسته شدن اقیانوس نئوتیس نسبت داد. فعالیت بالای منیزیم و اسیدسیلیسیک، میزان اسیدی بودن بالا و افزایش نسبت منیزیم به کلسیم از جمله شرایط لازم برای تشکیل این کانی‌ها هستند که در مناطق مختلف، در زمان‌های متفاوتی از دوران سنوزوئیک مهیا شده‌اند.

ریختار نمونه‌ها

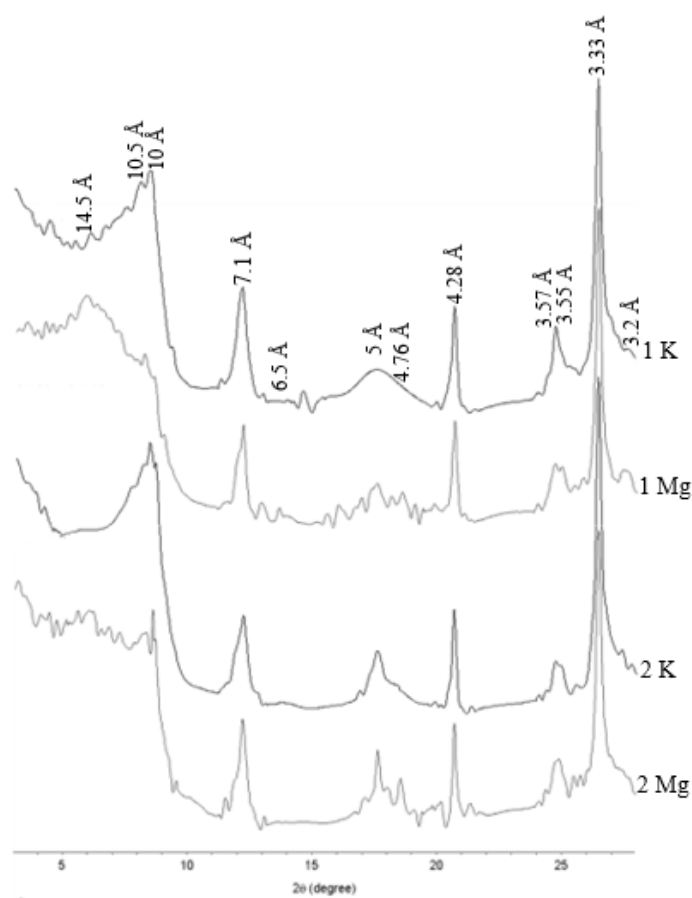
در سنگ‌های رسوبی دارای کانی پالیگورسکیت، این کانی به صورت رشته‌هایی در فضای بین ذرات دیگر و یا زمینه‌ای از کلسیت دیده شد (شکل ۸). در تصویر میکروسکوپ الکترونی روبشی از مارن آهکی سازند پایده (شکل ۸ الف)، نبود کانی پالیگورسکیت مشخص است. تصاویر میکروسکوپ الکترونی روبشی از مارن گچساران، مارن خاکستری - زرد میشان و مارن آغاری نشان می‌دهند که رشته‌های پالیگورسکیت روی ذرات و در فضای بین ذرات رشد کرده‌اند. رشته‌های پالیگورسکیت در مارن میشان کشیده‌تر و دارای ضخامت کمتری نسبت به دو نمونه دیگر هستند. رشته‌های بلندتر کانی‌های رشته‌ای به ویژه پالیگورسکیت همراه با ریختار درختی اغلب به تشکیل درجای این کانی نسبت داده می‌شود و در مقابل، رشته‌های کوتاه این کانی نشانگر خاستگاه تخریبی (آواری) کانی هستند [۵، ۶].

کمترین شدت قله کانی اسمکتیت در نمونه‌های مربوط به سازندهای جهرم و آسماری - جهرم دیده می‌شود. بیشترین شدت آن نیز مربوط به سازنده میشان است. نتایج پژوهشی در استان کهگیلویه و بویراحمد نشان داد که کانی اسمکتیت در رسوب‌های آغازگاری در مقایسه با رسوب‌های گچساران و میشان غالب است. اما در دو سازنده گچساران و میشان، ایلیت و کلریت فراوان هستند. در این پژوهش، پالیگورسکیت، کلریت، ایلیت، اسمکتیت به عنوان کانی‌های رسی مهم به همراه کوارتز در نمونه‌های سنگ و خاک معرفی شده‌اند [۹].

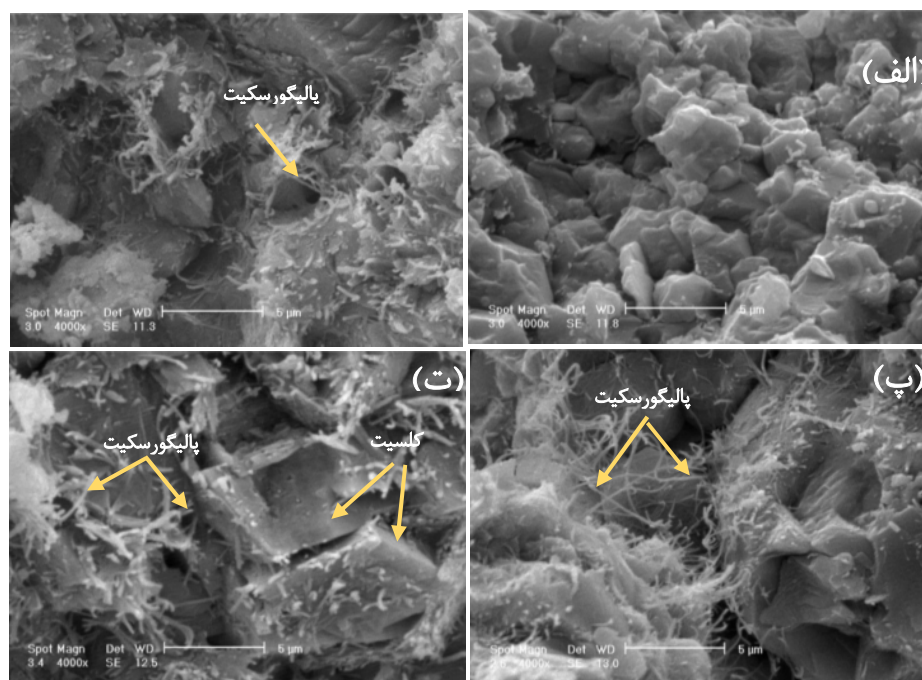
کنگلومراهای مارنی شنی با سن پلیوسن پسین مربوط به سازنده بختیاری که بخش زیادی از سنگ‌های رسوبی منطقه را تشکیل می‌دهد و جوان‌ترین سنگ رسوبی دوره نفوذن بوده، دارای کانی‌های ایلیت، کائولینیت و کوارتز است. افرون براین، کانی‌های پالیگورسکیت و کلریت نیز به مقدار بسیار ناچیز در آن وجود دارند. کانی اسمکتیت در این سنگ رسوبی دیده نشد (شکل ۷).

در پژوهشی، وجود کانی پالیگورسکیت در برخی رسوب‌های ایران مرکزی ثابت شده است و این کانی را به عنوان کانی غالب سیلیکاتی موجود در رسوب‌های آهکی واپسی به دوره الیگوسن - میوسن در این منطقه معرفی کردند [۵]. همچنین حضور پالیگورسکیت در رسوب‌های نفوذن کویر لوت گزارش شده است [۱۲]. افزون براین در پژوهشی حضور پالیگورسکیت در رسوب‌های دوران سنوزوئیک ایران مرکزی بررسی شده است [۶] و مشخص شد که این کانی در رسوب‌های با سن پالئوسن، ائوسن و الیگوسن وجود ندارد، در حالی که رسوب‌های با سن میوسن و پلیوسن در بردارنده مقداری قابل توجه کانی پالیگورسکیت هستند. همچنین اسمکتیت فراوان‌ترین کانی همراه با پالیگورسکیت گزارش شد. با جوان‌تر شدن رسوب‌های دوران سنوزوئیک، بر مقدار کانی پالیگورسکیت افزوده می‌شود، به طوری که در رسوب‌های پلیوسن، بیشترین مقدار کانی پالیگورسکیت دیده می‌شود. اگرچه از اواخر پالئوسن تا اوایل ائوسن بخش‌های مختلف اقیانوس نئوتیس الگوهای مختلفی از توزیع کانی پالیگورسکیت را نشان می‌دهند، به نظر می‌رسد که در ایران مرکزی شرایط تشکیل کانی پالیگورسکیت تا اواخر الیگوسن فراهم نبوده است [۶]. با توجه به نتایج این پژوهش، شرایط مناسب برای حضور و تشکیل کانی پالیگورسکیت در رسوب‌های سنوزوئیک استان بوشهر پیش از ایران مرکزی فراهم بوده است.

با بررسی سنگ‌های اواخر مژوزوئیک-سنوزوئیک در بخشی



شکل ۷ پراش نگاشتهای پرتو ایکس نمونه‌های با تیمارهای اشباع با منیزیم (Mg) و پتاسیم (K) بخش رس کنگلومرای مارنی شنی بختیاری (شماره ۲) و کنگلومرای مارنی شنی بختیاری (شماره ۱).



شکل ۸ تصویر میکروسکوپ الکترونی روبشی نمونه‌هایی از سنگ‌های رسوبی منطقه مورد بررسی، شامل مارن آهکی پابده (الف)، مارن گچساران (ب)، مارن خاکستری-زرد میشان (پ) و مارن آغاچاری (ت).

های سنگ‌ها نیز در جدول ۳ ارائه شده است. بین شدت قله‌های مربوط به پالیگورسکیت و اسمکتیت همبستگی منفی دیده شد. البته این همبستگی در سطوح آماری ۱ و ۵ درصد معنی‌دار نبود. همبستگی منفی بین شدت قله‌های پالیگورسکیت و اسمکتیت به احتمال بسیار گویای تبدیل اسمکتیت به پالیگورسکیت با نسبت منیزیم به کلسیم بالا و تبدیل پالیگورسکیت به اسمکتیت در محیط دارای نسبت پایین منیزیم به کلسیم است [۱۳]. در پژوهشی گزارش شده است که نسبت منیزیم به کلسیم محلول، میزان اسیدی بودن، مقدار گچ، مقدار سیلیس محلول و مقدار کانی پالیگورسکیت در خاک‌ها و سنگ‌های رسوبی دوران سوزوئیک ارتباط شدید و مثبت با هم دارند، حال آنکه بین مقدار اسمکتیت و رسانندگی الکتریکی با مقدار پالیگورسکیت در خاک‌ها و رسوب‌ها همبستگی منفی دیده می‌شود [۲۲].

نمودار پایداری اسمکتیت - پالیگورسکیت در سنگ‌های رسوبی مورد بررسی

نمودار پایداری اسمکتیت و پالیگورسکیت که در شکل ۹ ارائه شده است، نشان می‌دهد که همه سنگ‌ها در گستره پایداری کانی پالیگورسکیت هستند. حضور هم‌زمان این دو کانی و قرار گرفتن همه نمونه‌های سنگ در گستره پایداری پالیگورسکیت احتمال تبدیل کانی اسمکتیت به پالیگورسکیت را نشان می‌دهد. با وجود نبود کانی پالیگورسکیت در برخی از نمونه‌های سنگ، شرایط زمین شیمیایی نشان‌دهنده پایداری کانی پالیگورسکیت و احتمال تشکیل آن از اسمکتیت است. از دلایل پیش‌بینی نادرست نمودارهای پایداری این دو کانی را کافی نبودن زمان تعادل در استخراج محلول خاک و رسوب برای پیش‌بینی شرایط زمین شیمیایی خاک‌ها و رسوب‌های قدیمی می‌دانند [۲۴]. در پژوهشی دیگر نیز، نمودار پایداری پالیگورسکیت-اسمکتیت، نشانگر پایداری بیشتر کانی پالیگورسکیت در رسوب‌های میوسن و پلیوسن نسبت به رسوب‌های اثوسن، الیگوسن و الیگوسن-میوسن است. بر این اساس با وجود نبود کانی پالیگورسکیت در رسوب‌های الیگوسن، شرایط زمین شیمیایی این رسوب‌ها گویای پایداری نسبی کانی پالیگورسکیت و تشکیل احتمالی آن از اسمکتیت است [۲۳].

همچنین در این نمونه، رشتہ‌ها بیشتر در فضای بین ذرات قرار دارند (شکل ۸ پ).

رشته‌های کانی پالیگورسکیت در مارن آغازاری روی زمینه‌ای از ذرات کلسیت قرار داشته و ضخامت بیشتری دارند (شکل ۸ ت). همراهی کانی‌های پالیگورسکیت و کلسیت نشان دهنده وجود شرایط مساعد برای تشکیل این کانی‌الیافی در آن زمان است. کانی‌های پالیگورسکیت و سپیولیت هر دو به شکل رشتہ‌هایی در تصاویر میکروسکوپ الکترونی روبشی دیده می‌شوند، اما براساس نتایج پراش پرتو ایکس در این پژوهش، کانی رشته‌ای موجود در این تصاویر، پالیگورسکیت است.

ترکیب شیمیایی بخش رس سنگ‌های رسوبی

ترکیب شیمیایی بخش رس سنگ‌های رسوبی مورد بررسی در جدول ۲ ارائه شده است. نتایج نشان می‌دهد که مانند نسبت منیزیم به کلسیم در بخش محلول این سنگ‌ها، بیشترین مقدار نسبت منیزیم به کلسیم در بخش رس بدون کربنات سنگ‌های رسوبی نیز مربوط به گستره زمانی میوسن-پلیوسن یعنی زمان تشکیل سازند آغازاری است. این نتایج نیز مقدار بیشتر کانی پالیگورسکیت در نمونه‌های مربوط به این سن را بخوبی تایید می‌نماید.

ضرایب همبستگی بین شدت قله‌های پراش نگاشته‌های پرتو ایکس (XRD) مربوط به پالیگورسکیت (۶/۵ آنگستروم) و اسمکتیت (قله‌های ۱۵ تا ۱۸ آنگستروم) بخش رس نمونه‌ها و سایر ویژگی‌های اندازه‌گیری شده در سنگ‌های رسوبی منطقه در جدول ۳ آورده شده‌اند. شدت قله ۶/۵ آنگستروم (مربوط به کانی پالیگورسکیت) با منیزیم محلول (0.83^{**})، نسبت منیزیم به کلسیم محلول (0.82^{**} ، کربنات (0.90^{**})، نسبت منیزیم به کلسیم کل (0.82^{**} ، کربنات (0.80^{**}) و گچ (0.82^{**}) همبستگی معنی‌دار آماری نشان می‌دهد. همبستگی مثبت معنی‌دار بین مقدار گچ و کانی پالیگورسکیت نشان دهنده نقش مهم گچ در تشکیل و حفظ شرایط پایداری این کانی است. پژوهشگران همبستگی مثبت بین Mg/Ca و کانی پالیگورسکیت را از عوامل اصلی در تشکیل و پراکنش پالیگورسکیت در خاک و سنگ‌های رسوبی می‌دانند [۱۳، ۵]. همبستگی بین شدت قله مربوط به اسمکتیت و سایر ویژگی-

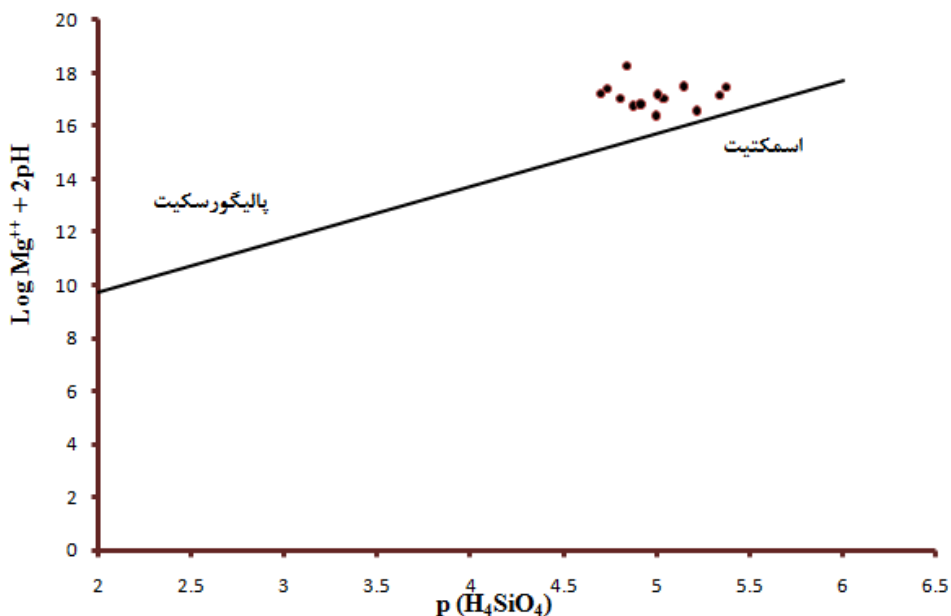
جدول ۲ ترکیب عنصری بخش رسی سنگ‌های رسویی مورد بررسی بر اساس نتایج SEM/EDX (بر حسب درصد).

Mg/Ca	کل	S	Cl	Ti	Ca	Na	O	Fe	K	Mg	Al	Si	شماره نمونه
۳,۰۱	۱۰۰,۰۰	۲,۴۱	۵,۲۹	۲,۴۷	۱,۵۱	۲,۷۰	۳۵,۲۱	۵,۵۸	۳,۷۳	۴,۵۴	۷,۲۹	۲۹,۲۷	۱
۱,۹۹	۱۰۰,۰۰	۲,۳۴	۳,۳۱	۱,۹۸	۱,۶۱	۳,۲۷	۴۱,۶۴	۳,۴۶	۳,۴۰	۳,۲۱	۶,۴۱	۲۹,۳۷	۲
۴,۵۵	۱۰۰,۰۰	۲,۳۹	۳,۵۳	۲,۱۶	۱,۴۹	۳,۵۹	۳۵,۱۳	۹,۱۸	۴,۰۵	۶,۷۸	۹,۱۷	۲۲,۵۳	۳
۵,۲۳	۱۰۰,۰۰	۲,۵۷	۴,۳۹	۲,۰۳	۱,۴۵	۳,۲۶	۳۴,۲۹	۹,۱۷	۳,۷۳	۷,۵۹	۸,۵۴	۲۲,۹۷	۴
۴,۵۳	۱۰۰,۰۰	۲,۲۳	۶,۸۷	۲,۰۳	۱,۹۴	۴,۴۱	۳۲,۱۷	۹,۸۱	۳,۱۴	۸,۷۹	۱۰,۳۴	۱۸,۲۸	۵
۴,۳۸	۱۰۰,۰۰	۱,۷۰	۲,۴۹	۲,۲۱	۱,۴۳	۲,۶۵	۳۵,۴۵	۹,۴۱	۴,۰۸	۶,۲۷	۱۰,۸۲	۲۲,۴۹	۶
۳,۴۲	۱۰۰,۰۰	۲,۲۰	۲,۳۹	۲,۵۷	۱,۷۲	۳,۵۲	۳۳,۷۷	۹,۴۳	۴,۴۰	۵,۸۸	۱۰,۰۴	۲۴,۱۱	۷
۳,۱۵	۱۰۰,۰۰	۲,۶۰	۲,۰۶	۲,۶۴	۱,۶۲	۲,۹۴	۳۱,۹۲	۱۱,۲۱	۵,۵۶	۵,۱۰	۱۰,۴۴	۲۲,۹۳	۸
۱۱,۳	۱۰۰,۰۰	۳,۱۷	۱۲,۱۲	۲,۷۵	۲,۱۲	۴,۷۴	۲۹,۹۳	۵,۶۷	۵,۵۸	۶,۵۹	۷,۱۷	۲۰,۱۳	۹
۳,۵۵	۱۰۰,۰۰	۵,۰۲	۲۱,۰۶	۲,۴۴	۲,۹۵	۷,۹۵	۲۹,۳۴	۴,۹۹	۲,۷۵	۱۰,۴۸	۴,۵۶	۸,۴۷	۱۰
۱,۱۱	۱۰۰,۰۰	۲,۶۶	۵,۲۰	۲,۷۱	۴,۱۹	۳,۸۳	۲۷,۱۶	۱۱,۳۳	۵,۸۸	۴,۶۵	۵,۷۹	۲۶,۶۰	۱۱
۲,۰۰	۱۰۰,۰۰	۴,۰۲	۸,۷۲	۳,۸۹	۲,۸۹	۴,۸۵	۲۲,۱۵	۸,۷۹	۵,۵۶	۵,۷۸	۱۲,۲۰	۲۱,۱۶	۱۲
۲,۱۰	۱۰۰,۰۰	۱,۷۷	۵,۰۷	۲,۵۹	۱,۶۹	۲,۹۴	۳۰,۳۴	۵,۸۶	۶,۱۹	۳,۵۵	۱۲,۲۸	۲۶,۷۲	۱۳

جدول ۳ ضرایب همبستگی بین شدت قله‌های مربوط به پالیگورسکیت و اسمکتیت و سایر ویژگی‌های اندازه‌گیری شده در سنگ‌های رسویی مورد بررسی.

پالیگورسکیت	شدت قله	شدت قله	منیزیم محلول
	asmektit	منیزیم محلول	
۰,۸۳**	۰,۱۳	منیزیم محلول	
۰,۱۸	-۰,۲۱	کلسیم محلول	
۰,۵۷	۰,۴۴	سیلیسیم محلول	
۰,۸۲**	۰,۴۳	نسبت منیزیم به کلسیم محلول	
۰,۱۲	-۰,۱۹	منیزیم کل	
-۰,۹۰**	-۰,۵۲	کلسیم کل	
۰,۱۳	۰,۲۵	سیلیسیم کل	
۰,۵	۰,۸۷**	آلومینیم کل	
۰,۷۸*	۰,۳۱	نسبت منیزیم به کلسیم کل	
-۰,۲۸	-۰,۰۳	اسیدیته	
۰,۶۰	-۰,۰۳	هدایت الکتریکی	
-۰,۸۰**	-۰,۳۵	کربنات‌ها	
۰,۸۲**	۰,۳۷	گچ	
-۰,۱۴	۱	شدت قله اسمکتیت	

*، ** به ترتیب نشان‌دهنده همبستگی معنی‌دار در سطح ۵ و ۱ درصد آماری هستند.



شکل ۹ نمودار پایداری سامانه اسمکتیت-پالیگورسکیت براساس روابط ویور و بک [۲۰] و موقعیت نمونه‌ها در گستره پایداری پالیگورسکیت.

ها با افزایش pH محیط و نسبت منیزیم به کلسیم، محیط مناسبی برای تشکیل کانی پالیگورسکیت در منطقه فراهم نموده‌اند. مقدار ناچیز این کانی در پلیوسن پسین (سازند بختیاری) را می‌توان به از بین رفتن محیط‌های کولاوی در منطقه نسبت داد. پژوهشگران سه شرط لازم برای تشکیل پالیگورسکیت در خاک‌ها و رسوب‌های ایران مرکزی بیان کرده‌اند [۵]: ۱) افزایش نسبت منیزیم به کلسیم به علت تبلور گچ در محیط‌های آبی کم‌عمق، ۲) افزایش pH محیط به علت اقلیم گرم و ۳) افزایش سیلیسیم محلول به علت محلول‌های گرمابی تغليظشده. در رسوب‌های مورد بررسی نیز افزایش نسبت منیزیم به کلسیم، افزایش سیلیسیم محلول به همراه اقلیم گرم و خشک در منطقه، شرایط زمین شیمیایی مناسب برای تشکیل و حضور کانی پالیگورسکیت را در دوران سنوزوئیک فراهم نموده است.

قدرتانی

هزینه‌های این پژوهش از سوی دانشگاه صنعتی اصفهان تأمین شده است که بدین‌وسیله قدردانی می‌گردد. همچنین، نویسنده‌گان از زحمات داوران محترمی که با حوصله، دقت و

برداشت نتایج این پژوهش نشان می‌دهد که در برخی از سنگ‌های رسوبی دوران سنوزوئیک (پالئوژن و نئوژن) استان بوشهر، کانی رشته‌ای پالیگورسکیت حضور دارد. در قدیمی‌ترین نمونه‌های سنگ (شیل و مارن آهکی) که مربوط به اوایل دوره سنوزوئیک هستند، این کانی دیده نمی‌شود، اما در سنگ‌های رسوبی جوان‌تر، مقادیر متفاوت این کانی وجود دارد. نخستین شواهد حضور کانی پالیگورسکیت و اسمکتیت در سنگ آهک جهرم که مربوط به پالئوسن - آئوسن است، دیده شد. بیشترین شدت ۶,۵ آنگستروم (مربوط به کانی پالیگورسکیت) در سنگ‌های رسوبی میوسن-پلیوسن (سازند آغازاری) است. این روند افزایشی در سنگ‌های رسوبی پلیوسن پسین (سازند بختیاری) ادامه ندارد و مقدار پالیگورسکیت بسیار ناچیز است. بر این اساس، می‌توان گفت که این منطقه نیز در معرض دریاچه‌ها و کولاپ‌های کم‌عمق ایجاد شده پس از بسته شدن اقیانوس نئوتیس قرار داشته و شرایط اقلیمی و زمین شیمیایی برای تشکیل این کانی فراهم شده است. با بسته شدن اقیانوس نئوتیس و تشکیل حوضچه‌های کم عمق و با افزایش دمای هوا و ایجاد شرایط کولاوی در منطقه، شرایط لازم برای تشکیل کانی‌هایی چون گچ و کربنات‌ها فراهم شده است که این کانی-

- A New Look at These Materials, Elsevier, Amsterdam (2011) 125-173.
- [9] Owliaie H.R., Abtahi A., Heck R.J., "Pedogenesis and clay mineralogical investigation of soils formed on gypsiferous and calcareous materials, on a transect, southwestern Iran" Geoderma 134 (2006) 62-81.
- [10] Henderson S.G., Robertson R.H.S., "A mineralogical reconnaissance in western Iran". Resource Use Ltd., Glasgow, UK (1958).
- [11] Burnett A.D., Fookes P.G. Robertson R.H., "An engineering soil at Kermanshah, Zagros Mountains, Iran" Clay Minerals 9 (1972) 329-343.
- [12] Farpoor M.H., Krouse H.R., "Stable isotope geochemistry of sulfur bearing minerals and clay mineralogy of some soils and sediments in Loot Desert, central Iran" Geoderma 146 (2008) 283-290.
- [13] Hojati S., Khademi H., "Genesis and Distribution of Palygorskite in Iranian Soils and Sediments" in: Galan E., Singer A., (Eds.), Developments in Palygorskite-Sepiolite Research, A New Look at These Materials, Elsevier, Amsterdam (2011) 201-218.
- [14] Khormali, F., Abtahi A., Owliaie H.R., "Late Mesozoic-Cenozoic clay mineral successions of southern Iran and their paleoclimatic implications" Clay Minerals 40 (2005) 191-203.
- [15] Amirinejad A.A., Baghernejad M., "Effects of topography on the formation and development of soils in Kermanshah region (in Persian)" Iranian Journal of Agricultural Science 28 (1997) 99-110.
- [16] Salehi MH., Khademi H., Karimian Eghbal M., "Identification and Genesis of Clay Minerals Soils from Farrokhshahr Area, Chaharmahal and Bakhtiari Province (in Persian)" Journal of Water and Soil Sciences 7 (1) (2003) 73-90.
- [17] Alambladi M.A., "General geology of Bushehr province (in Persian)" (2008) Shilav publisher.
- [18] USDA-NRCS., "Soil Survey Laboratory Methods Manual" Soil Survey Investigations Report, No. 42, Version 3. Nebraska (1996).
- [19] Loepert R.H., Suarez D.L., "Carbonate and gypsum" in: Sparks D. L., Page A.L., Helmke P.A., Loepert R.H., Soltanpour P.N., Tabatabai M.A., Johnson C.T., Sumner M.E. (Eds.), Methods of

صرف وقت ارزشمندشان پیشنهادهای بسیار خوب و سازنده‌ای ارائه نمودند، صمیمانه سپاسگزاری می‌نمایند.

مراجع

- [1] Gala N.E., "Genesis of Clay Minerals" in: Bergaya F., Theng B.K.G., Lagaly G., (Eds.), Handbook of Clay Science, Developments in Clay Science, Vol. I. Elsevier Ltd., Amsterdam. (2006) 1129-1162.
- [2] Rostási Á., Raucsik B., Varga A., "Palaeoenvironmental controls on the clay mineralogy of Carnian sections from the Transdanubian Range (Hungary)" Palaeogeography Palaeoclimatology Paleoeoecology 300 (2011) 101-112.
- [3] Ritz M., Vaculikova L., Plevova E., Matysek D., Malis J., "Determination of chlorite, muscovite, albite and quartz in claystones and clay shales by infrared spectroscopy and partial least-squares regression" Acta Geodynamica et Geomaterialia 9 (2012) 511-520.
- [4] Bouza P.J., Simón M., Aguilar J., Valle H.D. Rostagno M., "Fibrous-clay mineral formation and soil evolution in Aridisols of northeastern Patagonia, Argentina" Geoderma 139 (2007) 38-50.
- [5] Khademi H., Mermut A.R., "Source of palygorskite in gypsiferous Aridisols and associated sediments from central Iran" Clay Minerals 33 (1998) 561-578.
- [6] Khademi H., Hojati S., "Distribution and mineral formation of palygorskite in some Tertiary sediments of central Iran (in Persian)" Crystallography and Mineralogy of Iran 18 (2009) 113-124.
- [7] Karimi A., Jalalian A., Khademi H., "Formation and distribution of palygorskite and associated clay minerals in the soils and sediments of southern Mashhad (in Persian)" Crystallography and Mineralogy of Iran 16 (4) (2008) 545-558.
- [8] Gala'n E., Pozo M., "Palygorskite and Sepiolite Deposits in Continental Environments. Description, Genetic Patterns and Sedimentary Settings" in: Gala'n E., Singer A. (Eds.), Developments in Palygorskite-Sepiolite Research,

- [22] Jamoussi F., Ben Aboud A., Lopez-Galindo A., "Palygorskite genesis through silicate transformation in Tunisian continental Eocene deposits" *Clay Minerals* 38 (2003) 187-199.
- [23] Hojati S., Khademi H., "Factors affecting palygorskite distribution and genesis in selected soils developed on Tertiary parent materials in the Isfahan Province" *Crystallography and Mineralogy of Iran* 19 (2011) 15-28.
- [24] Monger H.C., Daugherty L.A., "Neoformation of palygorskite in a southern New Mexico Aridisol" *Soil Science Society of America Journal* 55 (1991) 1646-1650.
- Soil Analysis, Part 3, SSSA Special Publication, Madison, WI (1996) 437-474.
- [20] Weaver C.E., Beck K.C., "Miocene of S.E. United States: a model for chemical sedimentation in a peri-marine environment" *Sedimentary Geology*, 17 (1977) 1-234.
- [21] Mehra O.P., Jackson M.L., "Iron oxide removal from soils and clays by a dithionite citrate system with sodium bicarbonate" *Clays and Clay Minerals* 7 (1960) 317-327.